

# تحلیل آنتن پلاسمای ستونی با تحریک موج سطحی

فاطمه صادقی کیا<sup>۱</sup> فرخ حجت کاشانی<sup>۲</sup> جلیل راشد محصل<sup>۳</sup>

۱- استادیار- پژوهشگاه هواشناسی - تهران- ایران

sadeghi\_kia@ari.ac.ir

۲- استاد- دانشگاه علم و صنعت ایران - تهران- ایران

kashani@iust.ac.ir

۳- استاد- دانشگاه تهران - تهران- ایران

jrashed@ut.ac.ir

چکیده: در این پژوهش، آنتن پلاسمای تک قطبی مورد تحلیل و بررسی قرار می‌گیرد. شبیه‌سازی آنتن پلاسما به دو روش مجزا، یکی استفاده از سیمولاتور HFSS<sup>۱</sup> و دیگری شبیه‌سازی با استفاده از روش عددی FDTD<sup>۲</sup> انجام شده است. نتایج شبیه‌سازی آنتن پلاسما در محیط HFSS، با نتایج حاصل از شبیه‌سازی عددی ارائه شده در سایر مقالات مقایسه شده و نتایج به دست آمده بیانگر میزان قابلیت اطمینان به روش شبیه‌سازی مذکور در این ساختار جدید از آنتنهای است. در ادامه، پس از تشریح مشخصات موج سطحی روی ستون پلاسما، مشخصات تشعشعی، امپدانسی، سطح مقطع راداری و بهره آنتن ستونی پلاسما با روش عددی FDTD مورد ارزیابی قرار گرفته و نتایج آن با مشخصات تشعشعی آنتن فلزی با ابعاد مشابه مقایسه شده است. با توجه به آن که آنتن تک-قطبی معمولاً در محدوده فرکانس تشدید استفاده می‌شود، مشخصات تشعشعی به دست آمده از آنتن تک قطبی پلاسما از مقبولیت خوبی برخوردار می‌باشند و بنابراین، از این تکنولوژی نوظهور می‌توان به عنوان عنصر تشعشعی استفاده نمود.

**کلمات کلیدی:** آنتن پلاسمای تک قطبی - موج سطحی - پاشندگی - FDTD - مشخصات تشعشعی

تاریخ ارسال مقاله: ۱۳۸۹/۱۱/۴

تاریخ پذیرش مقاله: ۱۳۹۱/۱۲/۲۱

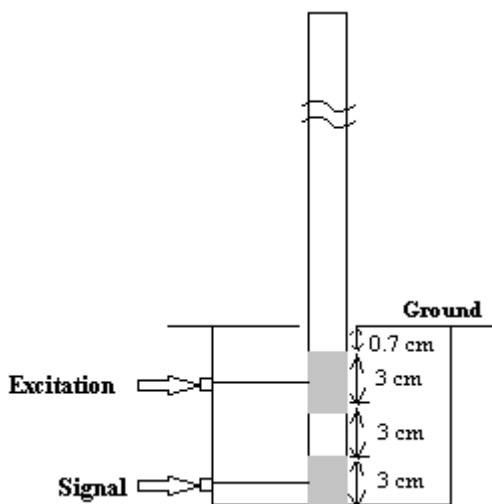
نام نویسندهی مسئول: فاطمه صادقی کیا

نشانی نویسندهی مسئول: ایران - تهران - شهرک قدس - پژوهشگاه هواشناسی، کد پستی ۱۴۶۶۵-۸۳۴

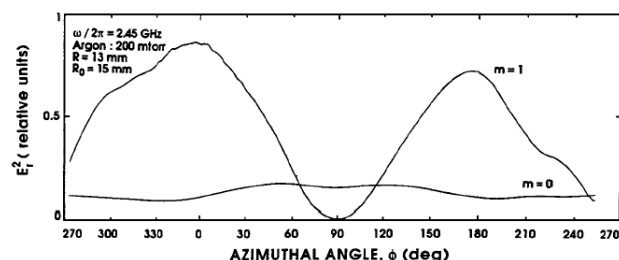


## ۱- مقدمه

توان ثابت، با آنتن فلزی و نیز نتایج ارائه شده در [۷] مقایسه می‌شوند. در بخش پایانی از این پژوهش، سطح مقطع راداری آنتن پلاسما و نیز بهره آن مورد تحلیل قرار گرفته و نتایج آن با آنتن فلزی با ابعاد مشابه مقایسه شده است.



شکل (۱): شماتیک آنتن پلاسما با تحریک موج سطحی



شکل (۲): مودهای انتشاری صفر و یک در ستون پلاسما با تحریک موج سطحی.  $R_0$ : شعاع بیرونی محفظه،  $R$ : شعاع درونی محفظه [۲]

## ۲- آنتن پلاسما با تحریک موج سطحی

تحریک ستون پلاسما با موج سطحی قابل انعطاف‌ترین نوع تحریک در مقایسه با سایر منابع RF و مایکروویو است؛ زیرا فرکانس تحریک، فشار گاز و چگالی پلاسما محدوده تغییرات وسیعی دارند. به علاوه این نوع تحریک راندمان بالاتری دارد و توان HF ناجیزی در مدار تطبیق امپدانس ناپدید می‌شود. در شکل ۱ نحوه تحریک آنتن پلاسما با موج سطحی نشان داده شده است. این روش تحریک در ساختارهای آزمایشگاهی کاربرد زیادی دارد [۳-۶-۵]. ستون پلاسما از محفظه‌ای دی‌الکتریک که می‌تواند برای روشنایی به کار رود، به دست می‌آید. قسمت انتهایی محفظه داخل جعبه فلزی زیر صفحه زمین قرار دارد. در این بخش، یک حلقه مسی دورتا دور محفظه قرار گرفته و جهت اعمال توان RF تحریک به کانتکتور N متصل می‌گردد. شکاف کوچکی در محل عبور محفظه دی‌الکتریک از صفحه زمین وجود دارد. با اعمال

انتشار موج سطحی روی سطح بین ستون پلاسما و محفظه دی-الکتریک اطراف آن حدود سال ۱۹۵۹ کشف گردید [۱]؛ در حالی که شناخت چنین امواجی در سال ۱۹۷۰ به سمت استفاده از آن‌ها به عنوان وسیله‌ای جهت نگهداری یک ستون پلاسما سوق پیدا کرد. مطالعات زیادی در زمینه خواص و کاربردهای تولید پلاسما با استفاده از موج سطحی (SWD) انجام شده است. خواص SWD عمده‌ای به میزان توان جذب شده در واحد طول پلاسما و شرایط تخلیه اعم از نوع پلاسما و فشار گاز و ابعاد و جنس محفظه دی‌الکتریک و نیز مود و فرکانس موج سطحی بستگی دارد [۲] و [۱۱]. ستون پلاسما با تحریک موج سطحی کاربردهای مختلفی در علوم متفاوت دارد در حالی که یکی از مهم‌ترین کاربردهای آن در مخابرات، استفاده از ستون پلاسما به عنوان هادی در آنتن می‌باشد.

آنتن پلاسما نوع متفاوتی از انواع آنتن‌ها است؛ زیرا در فناوری آن از گاز یونیزه شده با فشار کم و محفوظ در یک محفظه شیشه‌ای، به عنوان هادی استفاده می‌شود. با اعمال پالس‌های RF به محفظه حاوی گاز، پلاسما به سرعت تولید و ناپدید می‌شود و بنابراین آنتن به سرعت خاموش و روشن می‌گردد. در لحظه خاموش بودن آنتن، گاز داخل محفظه هیچ گونه هدایتی ندارد و آنتن ناپدید می‌شود. از این‌روی محفوظه کوئی تشعشعی سایر آنتن‌ها اثری نخواهد داشت و از دید کلیه رادارها محفوظ خواهد ماند. هنگامی که آنتن روشن می‌شود، پلاسما تبدیل به هادی دی‌الکتریکی شده و محیطی برای تشعشع سیگنال فراهم می‌کند و تنها در مدت زمان تبادل سیگنال رادیویی قابل رؤیت خواهد بود.

آنتن پلاسما می‌تواند در کاربردهای خدمات شهری، به ویژه برای سیستم‌های مخابرات بی‌سیم مناسب باشد [۳]. کاربردهای عمدۀ قابل تحقق این فناوری عبارتند از: آنتن‌های هوشمند، آرایه‌های اسکن دایروی، آنتن‌های قابل شکل‌گیری مجدد، شیلدینگ زمانی و مکانی و شیلدینگ با فرکانس انتخابی [۴].

در حال حاضر، فناوری آنتن پلاسما بسیار ناشناخته است. مطالعات آزمایشگاهی و تحلیلی متفاوتی از آنتن پلاسما با تحریک موج سطحی در محفظه دی‌الکتریک انجام شده‌است [۳-۶-۵]. آزمایشات انجام شده بیانگر آن هستند که چنین آنتن‌هایی، به دلیل کم‌نویز بودن، می‌توانند برای ارتباطات باندهای HF (۳-۳۰ MHz) و VHF (۳۰۰-۳۰ MHz) مفید باشند [۵].

در این مقاله، مشخصات موج سطحی روی ستون پلاسما، اعم از مودهای انتشار، ثابت انتشار موج سطحی  $\beta$  و توزیع چگالی پلاسما در طول ستون تشریح می‌شود. سپس مشخصات تشعشعی آنتن پلاسما با استفاده از شبیه‌سازی آنتن پلاسما به دو روش شبیه‌سازی با سیمولاتور HFSS و پیاده‌سازی روش عددی FDTD، در فشار و

$$\epsilon_r T_0 I_1(T_p a) K_0(T_0 a) + T_p K_1(T_0 a) I_0(T_p a) = 0 \quad (1)$$

که در آن  $T_0^2 = k^2 - k_0^2$  و  $T_p^2 = k^2 - \epsilon_r k_0^2$  a شاعر ستون پلاسمای  $\omega = \frac{\omega}{c}$  ثابت انتشار فضای آزاد و  $\epsilon_r$  ثابت دی الکتریک پلاسمای  $\omega$  است که مقدار آن به صورت رابطه ۲ می باشد.

$$\epsilon_r = 1 - \frac{\omega_{pe}^2}{\omega(\omega + j\nu)} \quad (2)$$

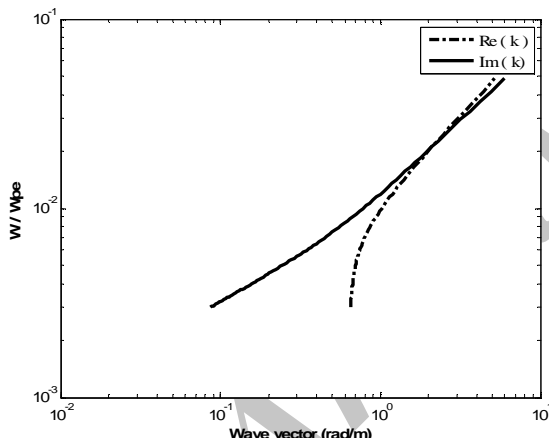
فرکانس برخورد الکترون خنثی و  $\omega_{pe}^2$  فرکانس پلاسمای الکترون است و مقدار آن در رابطه ۳ مشخص گردیده است.

$$\omega_{pe}^2 = \frac{n_e e^2}{m_e \epsilon_0} \quad (3)$$

در رابطه بالا،  $n_e$  چگالی پلاسمای  $e$  و  $m_e$  به ترتیب بیانگر بار و جرم الکترون می باشند. عبارات K و I توابع بسل می باشند.

پاشندگی امواج به وسیله رابطه  $\omega$  بر حسب  $\beta$  بیان می شود؛ در حالی که در عمل آن را به صورت های مختلفی نظیر  $\frac{\omega}{c}$  بر حسب  $\omega$

$\frac{\omega^2}{\omega_{pe}^2}$  بر حسب  $\beta a$ ،  $\frac{\omega}{\omega_{pe}}$  بر حسب  $\beta a$  و  $\frac{\omega_{pe}^2}{\omega^2}$  بر حسب  $\beta$  بیان می دارند.



شکل (۳): رابطه پاشندگی امواج سطحی پلاسمای فرکانس  $30\text{MHz}$  و  $\nu = 1\text{GHz}$  و  $a = 0.0125\text{m}$  فرکانس برخورد

در شکل ۳، منحنی قسمت های حقیقی و موهومی  $k$  بر حسب  $\frac{\omega}{\omega_{pe}}$  برای فرکانس  $30\text{MHz}$ ، شاعر ستون پلاسمای  $a = 0.0125\text{m}$  و  $\nu = 1\text{GHz}$  رسم شده اند. در چگالی های زیاد پلاسمای  $\omega$  در آن مقدار

کوچک است، قسمت حقیقی  $k$  به سمت مقدار بردار موج فضای آزاد  $k_0$  میل می کند و قسمت موهومی آن، یعنی  $\text{Im}\{k\}$ ، یا ثابت تضعیف مقداری ناچیز در حدود صفر خواهد داشت. در چنین حالتی جریان القایی موج سطحی در طول ستون پلاسمای میزان جریان القایی منتشر شده در آتن دوقطبی فلزی شباهت بسیاری

توان تحریک به حلقه مسی از طریق کانکتور، میدان الکتریکی قوی بین حلقه و صفحه زمین ایجاد می شود به طوری که خطوط میدان از داخل محفظه عبور کرده و ستون پلاسمای را تحریک می کند. حلقه مسی دیگری با استفاده از ساختار کوپلینگ مشابه، برای اعمال سیگنال به کار می رود. بدین ترتیب، پس از تحریک پلاسمای ستون پلاسمای تبدیل به هادی الکتریکی می شود.

در شبیه سازی آتن پلاسمای با روش FDTD و نیز استفاده از سیمولاتور تجاری HFSS، ابعاد محفظه فلزی  $400 \times 400 \times 40$  در نظر گرفته شده است. طول و شاعر ستون پلاسمای در شبیه سازی انجام شده در این مقاله به ترتیب برابرند با ۱۲۰mm و ۱۲mm و محفظه با دی الکتریکی به ضخامت ۰.۵mm و ضریب دی الکتریک  $\epsilon_d = 3$  محصور شده است. محفظه دی الکتریک با گاز آرگون در فشار ۰.۴mb (معادل با فرکانس برخورد ۵۰۰MHz) پر شده است. برای تحریک موج سطحی حلقه فلزی با ارتفاع ۳۰mm که حدود ۷mm زیر شکاف دایره ای در قسمت بالای جعبه زمین قرار دارد استفاده می شود.

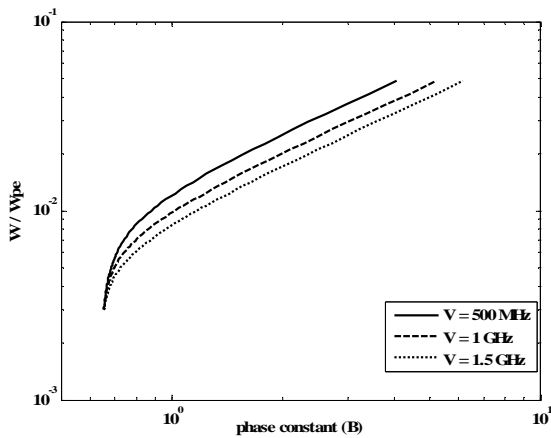
## ۱-۲- مود انتشار

در ساختار استوانه ای، مودهای قابل انتشار موج سطحی با وابستگی شدت میدان آنها نسبت به زاویه افقی  $\varphi$  تعریف می شود. چنانچه محیط یکنواخت باشد، شدت میدان موج های متوجه به صورت  $\exp[j(\omega t - \beta z + m\varphi) - \alpha z]$  تعریف می شود که  $t$  شاخص زمان، محور طولی،  $\beta$  ضریب فاز محوری ( $\beta = \frac{2\pi}{\lambda}$ ) که طول موج موج سطحی در طول محور Z است،  $\alpha$  ضریب تضعیف محوری و عدد صحیحی است که می بین مود انتشار می باشد. در حالتی که از ستون پلاسمای به عنوان آتن استفاده می شود، باید نحوه تحریک به گونه ای باشد که مود صفر تحریک شود و انتخاب این مود تابعی از فرکانس RF و شاعر محفظه دی الکتریک است. در شکل ۲ توزیع افقی مربع مؤلفه شعاعی شدت میدان الکتریکی در ستون پلاسمای برای دو مود صفر و یک با یکدیگر مقایسه شده اند. مود صفر، مودی است که در سطح مقطع استوانه یکنواخت و متقاضان است. تحقق مود صفر زمانی به وقوع می پیوندد که حاصل ضرب فرکانس موج RF و شاعر محفظه از ۲GHz.cm کمتر باشد [۲].

## ۲-۲- تئوری پلاسمای

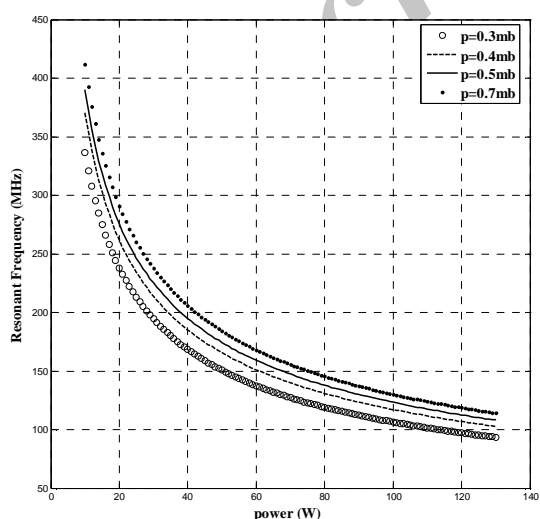
موج سطحی متقاضان (مود صفر) در راستای محور ستون پلاسمای در فرکانس های کمتر از فرکانس پلاسمای منتشر می شود. با صرف نظر از تشعشع این موج، می توانیم بردار موج  $k$  موج سطحی را از رابطه پاشندگی موج سطحی پلاسمای برای ستون طویل محاسبه کنیم [۵]. چنانچه چگالی پلاسمای یکنواخت فرض شود،  $k$  در طول ستون پلاسمای از رابطه (۱) تعیین می شود.





شکل (۵): رابطه ثابت فاز امواج سطحی پلاسمای فرکانس های مختلف و  $a = 0.125m$  با فرکانس برخورد متفاوت

منحنی تغییرات فرکانس تشیدید پلاسمای با تحریک موج سطحی در فشار ثابت و فرکانس برخورد ثابت ( $C = 5 \times 10^9$  و  $V_m = 5 \times 10^8 Hz$ ) در شکل ۶ به نمایش درآمده است. در اثر افزایش فشار داخل محفظه پلاسمای می‌توان با صرف توان کمتری به فرکانس تشیدید بالاتری دست یافت زیرا همانگونه که اشاره شد، افزایش فشار پلاسمای باعث افزایش چگالی پلاسمای داخل ستون می‌شود. به علاوه، تغییر میزان طول ستون پلاسمای با تغییر میزان توان تحریک در مشخصات فیزیکی ثابت ذکر شده در بالا در شکل ۷ نشان داده شده است.



شکل (۶): تغییر میزان توان روی فرکانس تشیدید آنتن

خواهد داشت و این بدان معناست که شباهت ستون پلاسمای به هادی فلزی بیشتر خواهد بود. درحالی که در چگالی‌های کم، موج سطحی به سرعت میرا می‌شود و نسبت به جریان روی سیم طول موج کوتاهتری خواهد داشت.

فشار گاز و میزان توان تحریک نقش مهمی در میزان چگالی پلاسمای دارند. افزایش توان و فشار، چگالی پلاسمای را افزایش می‌دهند. در شکل‌های ۴ و ۵ میزان تغییرات ثابت فاز  $\beta$  بر حسب تغییرات فرکانس و نیز تغییرات فرکانس برخورد ( $V$ ) نشان داده شده است. فرکانس برخورد تابعی از فشار پلاسمای می‌باشد و با افزایش میزان فرکانس برخورد شباهت ستون پلاسمای به هادی فلزی بیشتر می‌شود.

با افزایش توان HF تابیده شده به محفظه دی‌الکتریک حاوی پلاسمای علاوه‌بر چگالی پلاسمای، طول ستون پلاسمای نیز افزایش می‌یابد. چنانچه میزان توان تحریک  $P_0$  فرض شود، چگالی پلاسمای از محل تحریک تا انتهای ستون در آنتنی که در راستای محور  $Z$  ها واقع است، همانگونه که [۳] معرفی کرده‌است، به صورت رابطه ۴ تغییر می‌کند.

$$n(z) = n_0 - CV_m z \quad (4)$$

که در آن  $n_0$  چگالی پلاسمای در محل تحریک ( $z = 0$ ) است و مقدار آن برابر است با:

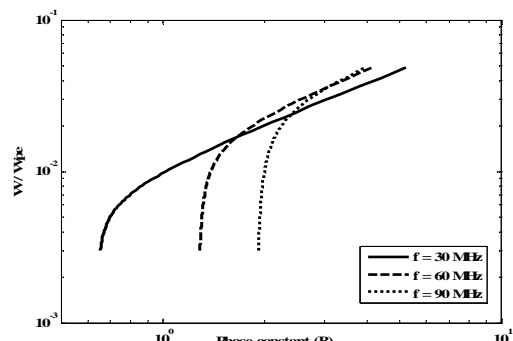
$$n_0 = A(p)\sqrt{P_0} \quad (5)$$

$A(p)$  و  $C$  در فشار ثابت مقادیر ثابتی هستند و  $P_0$  توان ورودی می‌باشد. طول ستون برابر است با:

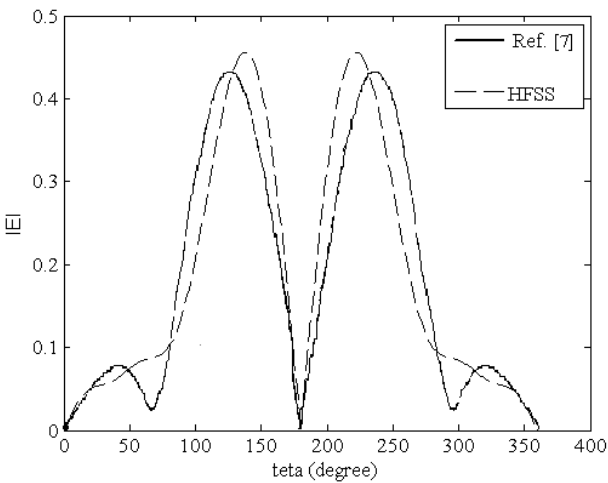
$$L = \frac{n_0}{CV_m} = \frac{A(p)\sqrt{P_0}}{CV_m(p)} \quad (6)$$

قابلیت هدایت در طول ستون پلاسمای با تغییر میزان چگالی تغییر می‌کند و مقدار آن در هر نقطه برابر است با:

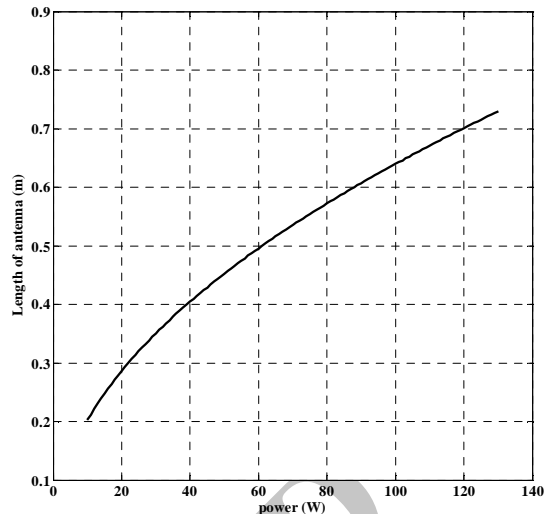
$$\sigma = \epsilon_0 \frac{\omega_{pe}^2}{j\omega + \nu} \quad (7)$$



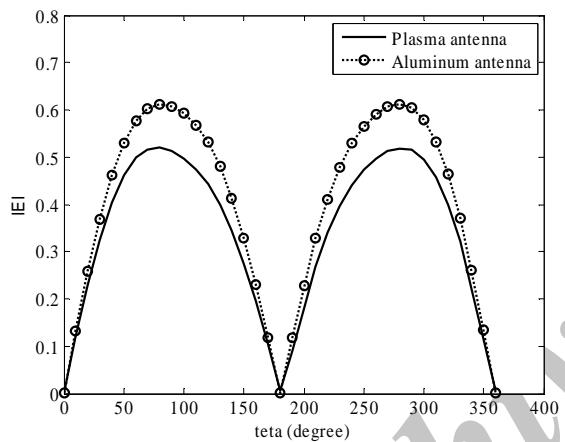
شکل (۷): رابطه ثابت فاز امواج سطحی پلاسمای در فرکانس های مختلف و  $a = 0.125m$  و فرکانس برخورد  $V = 1GHz$



شکل (۸): الگوی تشعشعی آنتن تک قطبی پلاسما در فرکانس  $300\text{MHz}$  و فشار  $400\mu\text{bar}$  و توان ورودی  $120\text{W}$  ، --- HFSS  
\_\_\_\_\_ Ref. [7]



شکل (۷): طول ستون پلاسما با تغییر میزان توان تحریک در فشار  $500\text{MHz}$  و فرکانس برخورد  $400\mu\text{bar}$



شکل (۹): مقایسه الگوی تشعشعی آنتن تک قطبی پلاسما با آنتن آلومینیوم در فرکانس  $150\text{MHz}$

### ۳- شبیه‌سازی آنتن پلاسما

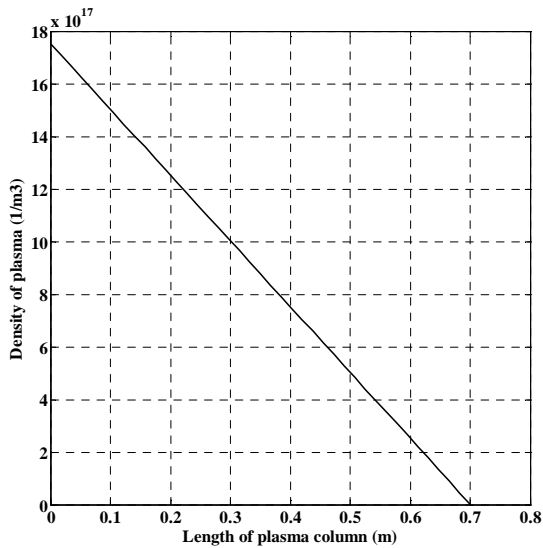
#### ۳-۱- طراحی آنتن پلاسما

سه کمیت عمده و تأثیرگذار در عملکرد آنتن پلاسما عبارتند از فشار گاز درون محفظه، فرکانس تحریک و توان تحریک. ابتدا باید گاز مناسب برای پرکردن محفظه انتخاب شود. انتخاب ما در این طراحی گاز آرگون است. دلیل انتخاب این گاز آن است که در نمونه های آزمایشگاهی کاربرد زیادی دارد و اطلاعات اندازه‌گیری شده درباره آن بیشتر است.

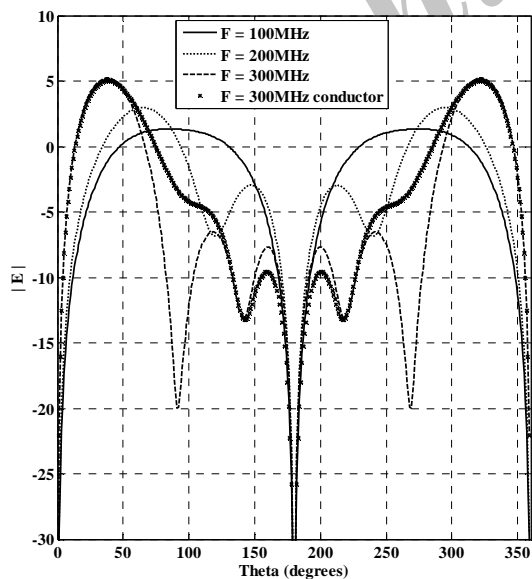
با انتخاب فشار، فرکانس و توان تحریک مناسب برای سیگنال تحریک، می‌توان عملکرد مطلوبی از آنتن را به دست آورد. با انتخاب فشار مناسب گاز درون محفظه میزان فرکانس برخورد و نیز شبیه منحنی تغییرات چگالی در راستای طول ستون پلاسما ثابت می‌شود. با توجه به اندازه‌گیری‌های انجام شده در [۳]، در شبیه سازی مقدار فشار گاز  $400\mu\text{bar}$  و فرکانس برخورد  $500\text{MHz}$  و فرکانس تحریک  $300\text{MHz}$  در نظر گرفته شده است. با انتخاب مقادیر مذکور، مقادیر  $A(p)$  و  $C$  طبق نتایج ارائه شده توسط اندازه‌گیری در [۳] به ترتیب

$$\text{برابر خواهد بود با } \frac{1}{w^2} \cdot 10^{18} m^{-3} \cdot 0.16 \times 10^0 + 5 \times 10^9 s^{-4}.$$

امپدانس ورودی آنتن پلاسمای سرد با طول  $70\text{ cm}$  در فرکانس  $300\text{ MHz}$  با تغییر میزان فرکانس برخورد نشان داده شده‌اند و مقادیر آن‌ها با آنتن فلزی مقایسه شده‌اند. به نظر می‌رسد که هرچه فرکانس برخورد بیشتر باشد، عمق نول‌ها کاهش می‌باید ولی همانگونه که در شکل ۱۳ مشهود است، ضریب  $Q$  آنتن کمتر می‌شود. بدین ترتیب با تغییر فرکانس برخورد و نیز تغییر میزان توان ورودی می‌توان آنتنی طرح نمود که عملکردش با حالت قبل متفاوت باشد. از این خاصیت می‌توان برای ساخت آنتن قابل شکل‌گیری مجدد استفاده نمود؛ زیرا فرکانس کاری آنتن با تغییر دو پارامتر مذکور قابل تغییر است.



شکل (۱۰): توزیع چگالی پلاسمای سرد در طول ستون با اعمال توان  $120\text{ W}$  و اعمال فشار  $400\mu\text{bar}$  و  $12.5\text{ mm}$  به محفظه‌ای با شعاع  $400\mu\text{m}$  به محفظه



شکل (۱۱): الگوی تشعشعی آنتن پلاسمای سرد در فرکانس‌های تحریک متفاوت و مقایسه آن‌ها با آنتن فلزی با ابعاد مشابه

در حالی که در آنتن پلاسمای سرد طرح شده مقدار آن در محدوده  $\sigma < 120$  از فاصله محل تحریک تا انتهای آنتن تغییر می‌کند.

### ۳-۳- شبیه‌سازی به روش FDTD

در این روش، محیط آنتن را به صورت پلاسمای سرد که چگالی آن به صورت محوری تغییر می‌کند، و نمایه تغییرات آن در شکل ۱۰ نشان داده شده است، در نظر گرفته شده است و مقدار آن‌ها به ترتیب  $400\mu\text{bar}$  و  $500\text{MHz}$  می‌باشد و با اعمال توان تحریک  $120\text{ W}$  یعنی فرکانس پلاسمای سرد محدوده  $rad/s$   $1.73 \times 10^{10} < \omega_{pe} < 7.28 \times 10^{10}$  عملکرد آنتن بررسی شده است.

مجموعه معادلات پلاسمای سرد در فضای بدون میدان مغناطیسی به صورت روابط ۸ می‌باشند.

$$\nabla \times \vec{E} = -\mu_0 \frac{\partial \vec{H}}{\partial t} \quad (1-8)$$

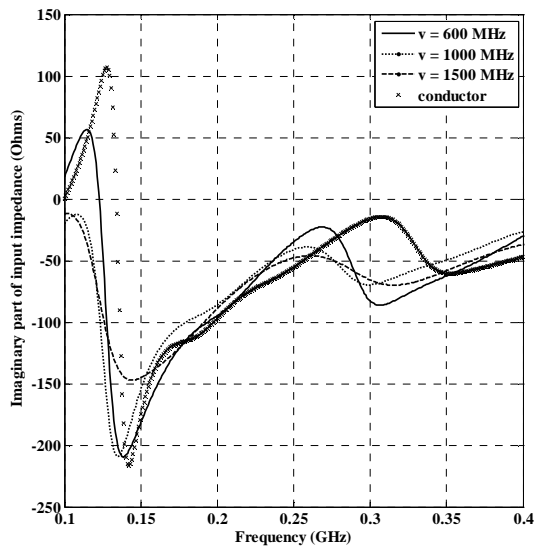
$$\nabla \times \vec{H} = \epsilon_0 \frac{\partial \vec{E}}{\partial t} + \vec{J} \quad (2-8)$$

$$\frac{\partial \vec{J}}{\partial t} + \nu \vec{J} = \epsilon_0 \omega_{pe}^2 \vec{E} \quad (3-8)$$

که در آن  $\vec{E}$  و  $\vec{H}$  به ترتیب میدان‌های الکتریکی و مغناطیسی می‌باشند و  $\epsilon_0$  و  $\mu_0$  نیز به ترتیب قابلیت گذرهای الکتریکی ( $F/m$ ) و قابلیت هدایت مغناطیسی ( $H/m$ ) فضای آزاد می‌باشند و  $\vec{J}$  چگالی جریان پلاسمای  $A/m^2$  است.

با اعمال روابط Yee و مشبندی شماتیک مورد نظر در مختصات دکارتی به صورت  $\Delta x$ ,  $\Delta y$ ,  $\Delta z$  و نیز در حوزه زمان با گام  $\Delta t$ , انتشار موج الکترومغناطیسی در حوزه زمان تحلیل زمان می‌شود. در این شبیه‌سازی فضای  $FDTD$  به  $162 \times 72$  سلول تقسیم و منبع تحریک پالس گاوسی در نظر گرفته شده است. قابل ذکر است که در این پژوهش حالت تعادل برهم‌کنش موج الکترومغناطیسی و محیط پلاسمای سرد ارزیابی و تحلیل قراردادیم و این‌گونه فرض نمودیم که محیط پلاسمای سرد از قبل ایجاد شده است. جزئیات مربوط به این تحلیل عددی در [۱۰-۹] بیان گردیده است.

با پیاده‌سازی شبیه‌سازی مزبور، الگوی تشعشعی آنتن پلاسمای سرد در فرکانس‌های مختلف و مقایسه آن‌ها با آنتن فلزی با ابعاد مشابه در شکل ۱۱ نشان داده شده است. در شکل ۱۲، ۱۳ و ۱۴ به ترتیب تغییر الگوی تشعشعی، قسمت حقیقی امپدانس ورودی و قسمت موهومی

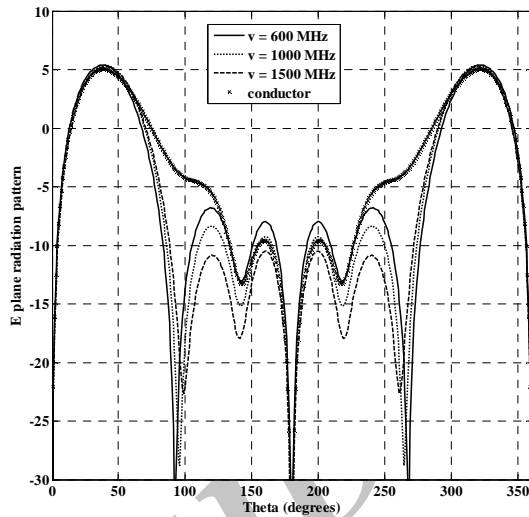


شکل (۱۴): قسمت موهومی امپدانس ورودی آتن پلاسما در فرکانس تحریک  $300\text{MHz}$  و تغییر فرکانس برخورد الکترون و مقایسه آنها با آتن فلزی با ابعاد مشابه

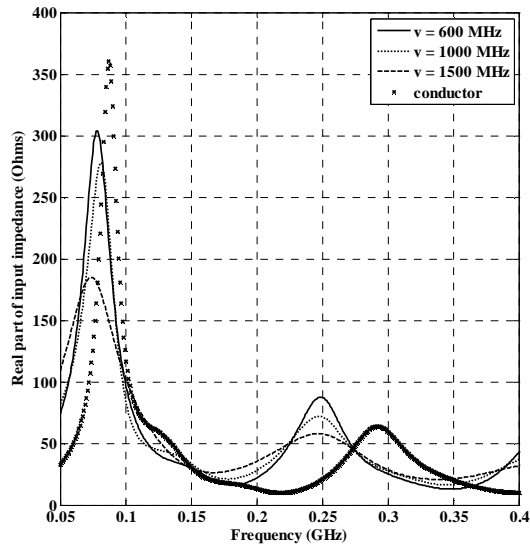
#### ۴- سطح مقطع راداری و بهره در آتن‌های پلاسما

با افزایش چگالی پلاسما در محفظه، عمق پوستی آن کاهش می‌باید و این کاهش تا زمانی ادامه دارد که ستون پلاسما همانند هادی فلزی رفتار کند. از آنجا که با اعمال پالس‌های RF به ستون تخلیه می‌توان در مدت کوتاهی تولید پلاسما نمود و با قطع توان تحریک به سرعت به شرایط اول بازگشت، آتن به سرعت خاموش و روشن می‌شود. هنگامی که آتن خاموش است، ستون تخلیه هدایت الکتریکی ندارد. همچنین روی الگوی تشعشعی آتن‌های مجاور اثری نخواهد داشت و تبدیل به یک محفظه دی‌الکتریک می‌شود که سطح مقطع راداری بسیار کمی دارد و چنانچه این محفظه درست طراحی شده باشد، از دید رادار محفوظ می‌ماند. آتن تنها زمانی که لازم است ارتباط رادیویی صورت گیرد روشن می‌شود و از این رو به نام آتن مخفی (stealth) معروف گردیده است. از عده‌های ترین کاربردهای چنین آتنی استفاده از آنها در هواپیماهایی است که در مقابل دید رادار استتار شده‌اند و وجود آتن فلزی می‌تواند استتار را از بین ببرد.

سطح مقطع راداری آتن پلاسما در فرکانس  $300\text{MHz}$  و با تغییر میزان توان تحریک و فرکانس تحریک ثابت  $300\text{MHz}$  به روش FDTD مورد تحلیل قرار گرفت و در شکل ۱۵ در مقایسه با آتن فلزی با ابعاد مشابه محفظه دی‌الکتریک و نیز محفظه بدون تحریک نشان داده شده است. همانگونه که مشاهده می‌شود، در زمانی که تحریک وجود ندارد، سطح مقطع راداری به میزان قابل توجهی کاهش می‌باید.

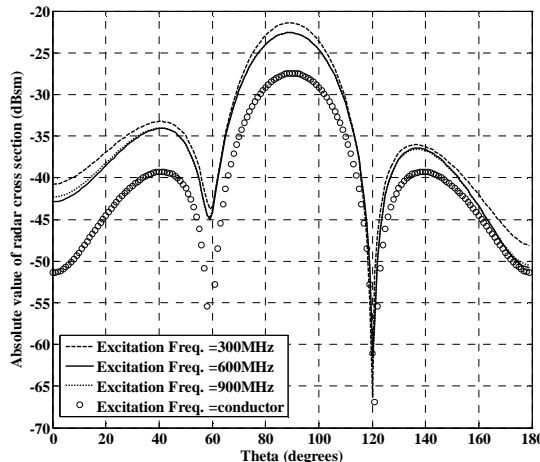


شکل (۱۲): الگوی تشعشعی آتن پلاسما در فرکانس تحریک  $300\text{MHz}$  با تغییر فرکانس برخورد الکترون و مقایسه آنها با آتن فلزی با ابعاد مشابه

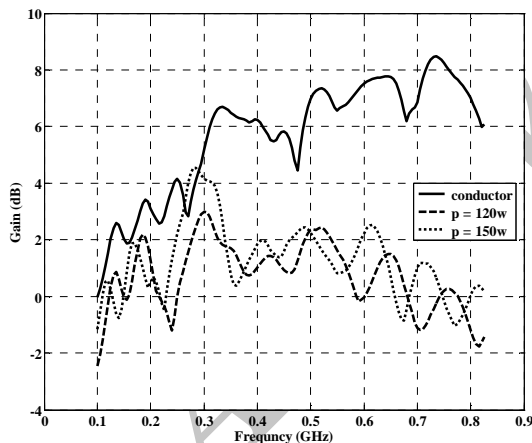


شکل (۱۳): قسمت حقیقی امپدانس ورودی آتن پلاسما در فرکانس تحریک  $300\text{MHz}$  با تغییر فرکانس برخورد الکترون و مقایسه آنها با آتن فلزی با ابعاد مشابه

از رسیدن به حد معینی دیگر افزایش نمی‌یابد. در شرایط فیزیکی که در بخش‌های قبلی آنتن توصیف و شبیه سازی شده، حداکثر میزان بهره با افزایش توان تحریک از  $4/5\text{dB}$  کمتر است. آنچه برای کاربر اهمیت دارد، عملکرد آنتن مذکور در فرکانس مرکزی است که با عملکرد یک آنتن فلزی قابل مقایسه بوده و نسبتاً قابل قبول است.

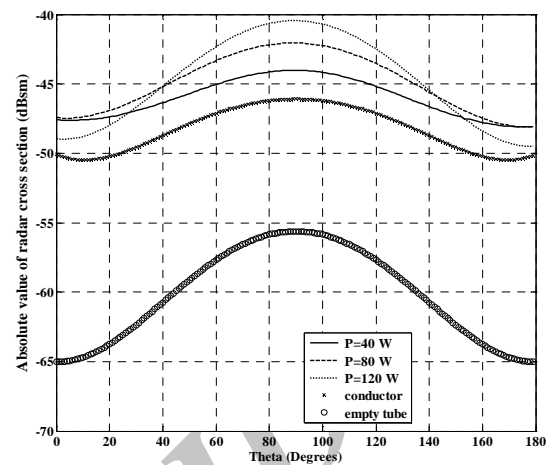


شکل(۱۶): سطح مقطع راداری آنتن پلاسمما در فرکانس  $800\text{MHz}$  با تغییر مقدار فرکانس تحریک و توان تحریک  $120$  وات و مقایسه آن با آنتن فلزی

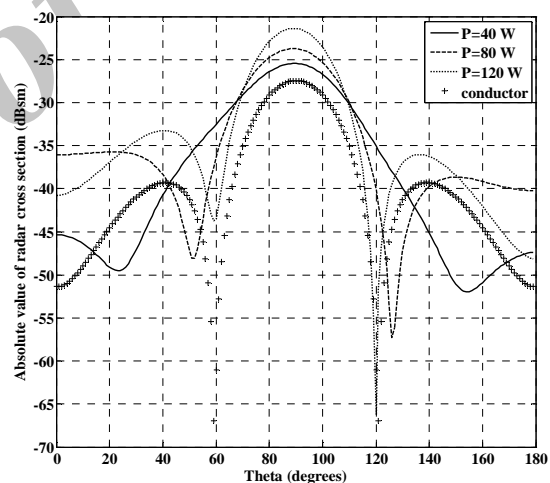


شکل(۱۷): بهره آنتن پلاسمما در فرکانس تحریک  $300\text{MHz}$  و توان تحریک  $120$  وات و مقایسه آن با آنتن فلزی

شکل ۱۶ سطح مقطع راداری آنتنی با شرایط تحریک مشابه شکل قبل را در فرکانس  $800\text{MHz}$  نشان می‌دهد.



شکل(۱۸): سطح مقطع راداری آنتن پلاسمما در فرکانس  $300\text{MHz}$  با تغییر میزان توان تحریک و مقایسه آن با آنتن فلزی و محفظه دیالکتریک فاقد پلاسمما



شکل(۱۹): سطح مقطع راداری آنتن پلاسمما در فرکانس  $300\text{MHz}$  با تغییر میزان توان تحریک و مقایسه آن با آنتن فلزی

تغییر میزان فرکانس تحریک در توان ثابت نیز روی میزان سطح مقطع راداری تأثیرگذار است. نکته قابل ذکر آن است که کلیه تحلیل‌های انجام گرفته در این بخش در فشار ثابت  $0.4\text{mb}$  گاز آرگون یا به عبارت دیگر فرکانس برخورد  $500\text{MHz}$  انجام گرفته است. در شرایط فیزیکی مذکور میزان بهره آنتن پلاسمما در محدوده فرکانسی  $100$  تا  $800\text{MHz}$  شبیه‌سازی و با بهره آنتن فلزی مقایسه شده و نتیجه آن در شکل ۱۸ نشان داده شده است. در فرکانس‌های کمتر از فرکانس تحریک ( $300\text{MHz}$ ) میزان بهره افزایش فرکانس از فرکانس تحریک این مقدار را فلزی دارد؛ حال آنکه افزایش فرکانس از فرکانس تحریک این مقدار را افزایش می‌دهد. با افزایش توان میزان بهره افزایش می‌یابد؛ لیکن پس

در این مقاله، آنتن پلاسمای ستونی با تحریک موج سطحی معرفی گردید. از آن جاکه الگوی تشعشعی و پارامترهای مربوط به پاشندگی در این آنتن عمدتاً به مشخصات فیزیکی گاز درون محفظه و نیز میزان توان و فرکانس تحریک پلاسمما بستگی دارد، تأثیر برخی از این پارامترها را روی عملکرد آنتن بررسی نموده و خواص آنتن را مورد مطالعه قرار دادیم.

شبیه‌سازی آنتن تک قطبی پلاسمما به وسیله سیمولاتور HFSS با

- [9] F. Sadeghikia, F. Hodjat-Kashani, J. Rashed-Mohassel, and J. Ghayoomeh-Bozorgi, "Characterization of a surface wave driven plasma monopole antenna," *J. of Electromagn. Waves and Appl.*, Vol. 26, 239–250, 2012.

- [10] F. Sadeghikia, F. Hodjat-Kashani, J. Rashed-Mohassel, A. A. Lotfi ,and J. Ghayoomeh-Bozorgi, "A yagi-uda plasma monopole array," *Journal of Electromagnetic Waves and Applications*, Vol. 26, 885-894, 2012.

[11] جلیل راشد محصل، رضا فرجی دانا، کریم محمدپور اقدم، "طراحی، شبیه‌سازی و ساخت آنتن مسطح سینوس با پلاریزاسیون دوگانه در محدوده فرکانس ۲-۱۸ GHz" مجله انجمن مهندسین برق و الکترونیک ایران سال اول، شماره سوم زمستان ۱۳۸۳

<sup>1</sup> High Frequency Structure Simulator

<sup>2</sup> Finite Difference Time Domain

<sup>3</sup> Surface Wave Driven

تحریک موج سطحی در چند فرکانس و در شرایط ثابت فیزیکی (توان و فرکانس برخورد ثابت) انجام گردید و الگوی تشعشعی به دست آمده با الگوی به دست آمده در سایر مقالات و نیز آنتن آلومینیومی با ابعاد مشابه مورد بررسی قرار گرفت و کلیه نتایج به دست آمده بیانگر صحت روشن پیاده‌سازی شده در شبیه‌سازی می‌باشند.

در شبیه‌سازی آنتن تک قطبی پلاسمما با روش FDTD، تغییر مشخصات تشعشعی آنتن و امپدانس ورودی با تغییر فرکانس تحریک و فرکانس برخورد الکترون مورد بررسی قرار گرفت. تحلیل‌ها نشان می‌دهند که با افزایش فرکانس تحریک همانند آنتن فلزی تعداد گلبرگ-های فرعی افزایش یافته و نیز عمق نول‌ها بیشتر می‌شود. به علاوه کاهش فرکانس برخورد الکترونها باعث افزایش ضریب Q و نیز کاهش پهنه‌ی باند امپدانسی خواهد شد.

بررسی میزان سطح مقطع راداری آنتن‌های پلاسمما به روش FDTD نشان می‌دهد که هنگامی که ستون پلاسمما با فرکانسی کمتر از فرکانس پلاسمما تحریک می‌شود میزان سطح مقطع راداری زیاد و با قطع توان تحریک به مقدار قابل ملاحظه‌ای کاهش می‌یابد. این ویژگی آنتن‌های پلاسمما بسیار مورد توجه قرار دارد. بهره آنتن پلاسمما با افزایش توان تحریک زیاد می‌شود ولیکن افزایش تا حد معینی ادامه می‌یابد و پس از آن با افزایش توان تنها عملکرد آن در حوزه فرکانسی شیفت می‌یابد؛ زیرا طول و در نتیجه فرکانس مرکزی آنتن تغییر می‌کند.

## مراجع

- Trivelpiece A.W. , Gould R.W. , "Space Charge Waves in cylindrical plasma columns," *J. Appl. Phys.* 30, 1784, 1959.
- Moisan M, Shivarova A and Trivelpiece A W, "Experimental investigations of the propagation of surface waves along a plasma column," *Plasma Physics*, Vol. 24, No.11, pp. 1331-1400, 1982.
- J. P. Rayner, A. P. Whichello, A. D. Cheetham, "Physical Characteristics of Plasma Antennas," *IEEE Trans. on Plasma Science*, vol. 32, No.1, pp. 269-281, Feb. 2004.
- Anderson, T. Alexeff, I. Farshi, E. Karnam, N. Pradeep, E.P. Pulsani, N.R. Peck, J. , "An operating intelligent plasma antenna," *International conference on pulsed power plasma science*, June 2007.
- C. G. Borg, J. H. Harris, N. M. Martin, D. Thorncraft, R. Milliken, D. G. Miljak etc., "Plasmas as Antennas: Theory, Experiment and Applications," *Phys. Plasmas*, Vol. 7, No.7, pp. 2198-2202, July 2000.
- Cerri, G. De Leo, R. Primiani and V.M. Russo, P., "Measurement of the Properties of a Plasma Column Used as a Radiating Element" *IEEE Trans. Antennas and Propagation*, Vol. 57, No. 2, pp. 242-247, Feb. 2008.
- D. Qian; D. Jun, G. Chen-Jiang, S. Lei, "On characteristics of a plasma column antenna," *International conference on microwave and millimeter wave technology*, vol.1, pp. 413-415, Sept. 2008.
- Sadeghi-kia F., Hodjat-Kashani F. and Rashed-Mohassel J., "Analysis of tapered column plasma using fullwave simulator," *Loughborough Antenna and propagation conference*, pp. 301-304, Nov. 2009.

